

大阪大学大学院 学生員 佃 長次  
 大阪大学工学部 正員 伊藤 昌雄  
 同 同 松井 保

## 〔1〕まえがき

筆者らは、飽和粘土の動的挙動を有効応力の立場から解明するため、正規圧密粘土に繰り返し荷重を与える実験を行なってきた。そして、繰り返し載荷により発生する過剰間げき水压に着目し、その挙動を明らかにするとともに、飽和粘土の力学的特性に及ぼす動的応力履歴の影響について検討してきた。<sup>1)~5)</sup>しかし、自然地盤は正規圧密状態ばかりではなく、浸食作用や地下水水面の変動等により過圧密状態にある地盤も少なくはない。そこで、飽和され過圧密粘土に繰り返し荷重を与えて、過圧密比や繰り返せん断応力が過剰間げき水压にどのような影響を及ぼすかを調べ、過剰間げき水压発生のメカニズムを検討した。

表-1

## 〔2〕試料および実験方法

用いた試料は千里粘土、実験装置は振動三軸試験機で、既報のものと同様である。<sup>1), 2)</sup>実験方法については、まず過圧密試料を作製するために有効圧密圧力を $\sigma'_0$ で24時間等方圧密し、有効拘束圧力を $\sigma'_0$ で24時間吸水膨張する。その後、正規圧密粘土に対するものと同様、平均主応力一定の繰り返し載荷を行なう。載荷条件は表-1に示す通りで、OCRとせん断応力振幅レベルをそれぞれ変化させた。尚、繰り返し載荷試験とは別に、同一作製方法による過圧密試料において静的三軸圧縮試験を行ない、せん断強度 $\tau_u$ を求めておく。

## 〔3〕実験結果および考察

図-1は、 $\Delta u / \tau_u$ が約40%で、3種のOCRについて、過剰間げき水压 $\Delta u$ と繰り返し回数Nの関係を示している。 $\Delta u$ はNから $10^4$ 回付近まで減少し、その後増加し続ける。そして、 $N = 10^4$ へ近づくにつれて $\Delta u$ の増加率がだんだん小さくなる。このような間げき水压挙動はOCR = 2, 3, 4のいずれの供試体についても言え、3供試体とも $\Delta u$ は0付近に収束しているようである。しかし、 $\Delta u$ の負の値はOCRが大きいほど大きく現われている。このことはOCRが大きいほど、静的せん断試験において、 $\Delta u$ が小さくなることと一致している。この3ケースの実験では有効拘束圧力、繰り返し載荷条件が等しいので、負の $\Delta u$ の発生量の相違は有効圧密圧力によるものと考えられる。

次に、図-2はOCR = 2で、4種の $\tau_d / \tau_u$ について、 $\Delta u$ とNの関係を示している。図からわかるように、 $\tau_d / \tau_u$ が異なるほど負の $\Delta u$ に若干の差が生じ、Nが大きくなるにつれて過剰間げき水

OCR	有効圧密圧力 $\sigma'_0$ (kg/cm²)	有効拘束圧力 $\sigma'_c$ (kg/cm²)	せん断応力振幅 $\tau_d$ (kg/cm²)	繰り返し回数 N(cycle)	せん断応力振幅レベル $\tau_d / \tau_u$ (%)
2	4.0	2.0	0.52	$10^4$	40
"	"	"	0.58	$1.5 \times 10^4$	45
"	"	"	0.67	$10^4$	51
"	"	"	0.75	4140	58
3	6.0	"	0.67	$10^4$	41
4	8.0	"	0.77	$1.3 \times 10^4$	38

図-1

(周波数はすべて0.5 Hz)

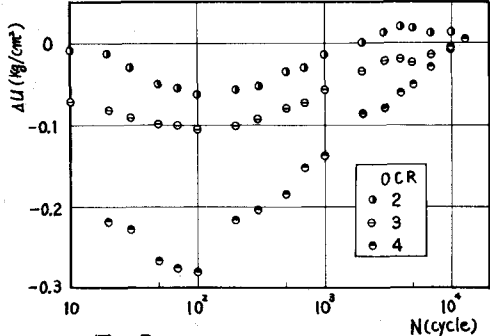
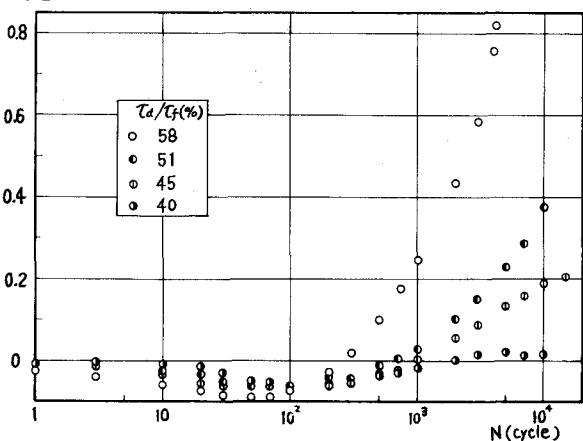


図-2



圧に明確な相違が生じていい。 $T_d/T_s$ が40%および45%では、 $\Delta u$ は最終的に平衡値に達するようである。 $T_d/T_s$ が51%および58%では、 $d(\Delta u)/d(\log N)$ が増加しており、後者では $N = 4 \times 10^3$ を越えると急激に増加する。ただし、 $T_d/T_s$ が58%の実験は軸ひずみが非常に大きくなり、破壊していると判断したため、 $N=4140$ で繰り返し載荷を停止した。以上の二つから、過圧密粘土の繰り返し載荷による過剰間け水圧は、繰り返し回数があろ程度大きくなると、正規圧密粘土と同様、せん断応力振幅に限界値が存在すると思われる。

平均主応力一定の繰り返し載荷試験では、圧縮と伸張が交互に生じる応力状態になつていいのと、軸ひずみも圧縮と伸張が交互に現われる。したがつて、繰り返し効果をひずみとしてうえる場合には、最大圧縮ひずみと最大伸張ひずみの差を考え、ひずみ振幅 $\epsilon_{pp}$ と表わすことにする。図-3は、図-2と同じ供試体の $\epsilon_{pp}$ と $N$ の関係を示している。 $T_d/T_s$ の大きさによって、勾配は異なつていいが、 $\log N$ に対して単調増加となっていき。図-2と図-3より $\epsilon_{pp}$ と $\Delta u$ の関係をプロットすると、図-4のようになる。 $T_d/T_s$ が大きくな

るにつれて、カーブは図上で右上方に引き伸ばしていふ形になつており、 $\epsilon_{pp}$ と $\Delta u$ の変化が大きくなつていいことがわかる。すなわち、 $\Delta u$ が等しいとき、 $\epsilon_{pp}$ は $T_d/T_s$ の値とともに大きくなつていい。繰り返し載荷を停止したときの残留ひずみが非常に小さいにもかかわらず、 $\Delta u$ が蓄積残留していいことをも考え合わせると、平均主応力一定の繰り返し載荷試験では、 $\Delta u$ とひずみとの間に一義的な関係が見い出せないようである。

#### [4] 過剰間け水圧発生のメカニズム

過圧密粘土は、同じ有効拘束圧力をもつ正規圧密粘土に比べて、有効圧密圧力への影響が残つていいので、繰り返し載荷初期には、過圧密粘土のダイレイタンシー特性を示し、繰り返し載荷を受けることによつて、 $\Delta u$ の履歴が打ち消されていく。すなわち、本実験の場合、過圧密応力履歴の存在によつて、負の過剰間け水圧が発生するが、動的応力履歴によつて、過圧密応力履歴の記憶が失われていく。その結果、過圧密粘土は正規圧密粘土に似た状態に近づいていい、同時にダイレイタンシー特性が正規圧密粘土のそれに変化し、過剰間け水圧が減少から増加へと移つていい。このように考えると、[3]で述べたような過圧密粘土の過剰間け水圧の挙動をスムーズに説明できる。

最後に、本研究に協力された元本学学生石井鴻太郎君(現在、東亜建設工業)に謝意を表する。

#### [5] 参考文献

- 1) 松井・小原 “正規圧密粘土に及ぼす振動荷重の影響について” 第9回国土質工学研究発表会(1974)
- 2) 伊藤・松井・小原 “正規圧密粘土に及ぼす振動荷重の影響について” 第29回国土学会年次学術講演会(1974)
- 3) “ ” “飽和粘土に及ぼす動的応力履歴の影響” 第10回国土質工学研究発表会(1975)
- 4) “ ” “繰り返しによる累加する飽和粘土の間け水圧運動” 第30回国土学会年次学術講演会(1975)
- 5) 松井・小原・伊藤 “飽和粘土の力学的特性に及ぼす動的応力履歴の影響” 土木学会論文報告集(投稿中)